

Графові ймовірнісні моделі

Практична робота 6

Практичні роботи

- 14, 15 Моделювання поведінки випадкового процесу та стаціонарної густини ймовірності у моделі багатовимірного потенціалу;
- 16 Фур'є - аналіз даних

Студентка Пороскун Олена. Група ПМ.м-21

8(1) варіант

Завдання

Побудувати рис. 2.1-2.7 – номер рисунка відповідає варіанту згідно зі списком групи. (Пояснення. Методика аналітичного розрахунку фазової діаграми в розд. 2 в файлі pract_6_variant_1.docx)

Параметри системи:

$$\begin{aligned}\varphi_{0g}^* &= 0.4 \text{ Дж} \cdot \text{м}^{-2}, g_g = 12 \text{ Дж} \cdot \text{м}^{-2}, \bar{M}_g = 2.5 \cdot 10^5 \text{ Дж} \cdot \text{м}^{-2}, \bar{\mu}_g = 3 \cdot 10^5 \text{ Дж} \cdot \text{м}^{-2}, \\ \varphi_{1g}^* &= 3 \cdot 10^{-6} \text{ Дж} \cdot \text{м}^{-1}, e_g = 3.6 \cdot 10^{-4} \text{ Дж} \cdot \text{м}^{-1}, \varphi_{2g} = 5.6 \cdot 10^{-13} \text{ Дж}, \\ \varphi_{3g} &= 3 \cdot 10^{-20} \text{ Дж} \cdot \text{м}, \varphi_{0D}^* = 5 \cdot 10^{-9} \text{ Дж} \cdot \text{м}^{-1}, g_D = 2 \cdot 10^{-8} \text{ Дж} \cdot \text{м}^{-1}, \\ \bar{M}_D &= 0 \text{ Дж} \cdot \text{м}^{-1}, \bar{\mu}_D = 1.65 \cdot 10^{-4} \text{ Дж} \cdot \text{м}^{-1}, \varphi_{1D}^* = 10^{-24} \text{ Дж} \cdot \text{м}, \\ e_D &= 6 \cdot 10^{-23} \text{ Дж} \cdot \text{м}, \varphi_{gD} = 10^{-16} \text{ Дж}, \psi_{gD} = 10^{-23} \text{ Дж} \cdot \text{м}.\end{aligned}$$

Доповнені параметри:

$$\begin{aligned}\varphi_{0g}^* &= 0.4 \text{ Дж} \cdot \text{м}^{-2} & \bar{\mu}_g &= 3 \cdot 10^5 \text{ Дж} \cdot \text{м}^{-2} \\ \varphi_{1g}^* &= 3 \cdot 10^{-6} \text{ Дж} \cdot \text{м}^{-1} & \mu_D &= 1.65 \cdot 10^{-4} \text{ Дж} \cdot \text{м}^{-1} \\ \varphi_{2g} &= 5.6 \cdot 10^{-13} \text{ Дж} & & \\ \varphi_{3g} &= 3 \cdot 10^{-20} \text{ Дж} \cdot \text{м} & e_g &= 3.6 \cdot 10^{-4} \text{ Дж} \cdot \text{м}^{-1} \\ \varphi_{0D}^* &= 5 \cdot 10^{-9} \text{ Дж} \cdot \text{м}^{-1} & e_D &= 6 \cdot 10^{-23} \text{ Дж} \cdot \text{м} \\ \varphi_{1D}^* &= 10^{-24} \text{ Дж} \cdot \text{м} & & \\ \varphi_{gD} &= 10^{-16} \text{ Дж} & g_g &= 12 \text{ Дж} \cdot \text{м}^{-2} \mid \\ & & g_D &= 2 \cdot 10^{-8} \text{ Дж} \cdot \text{м}^{-1} \\ \psi_{gD} &= 10^{-23} \text{ Дж} \cdot \text{м} & & \\ & & \varepsilon_{ii}^e &= -0.1\% \\ \bar{M}_g &= 2.5 \cdot 10^5 \text{ Дж} \cdot \text{м}^{-2} & \tau &= 20 \\ \bar{M}_D &= 0 \text{ Дж} \cdot \text{м}^{-1} & N_D &= (0, 10^{-8}, 2 \cdot 10^{-8}, 3 \cdot 10^{-8})\end{aligned}$$

Рисунок згідно з 1 варіантом, який необхідно отримати:

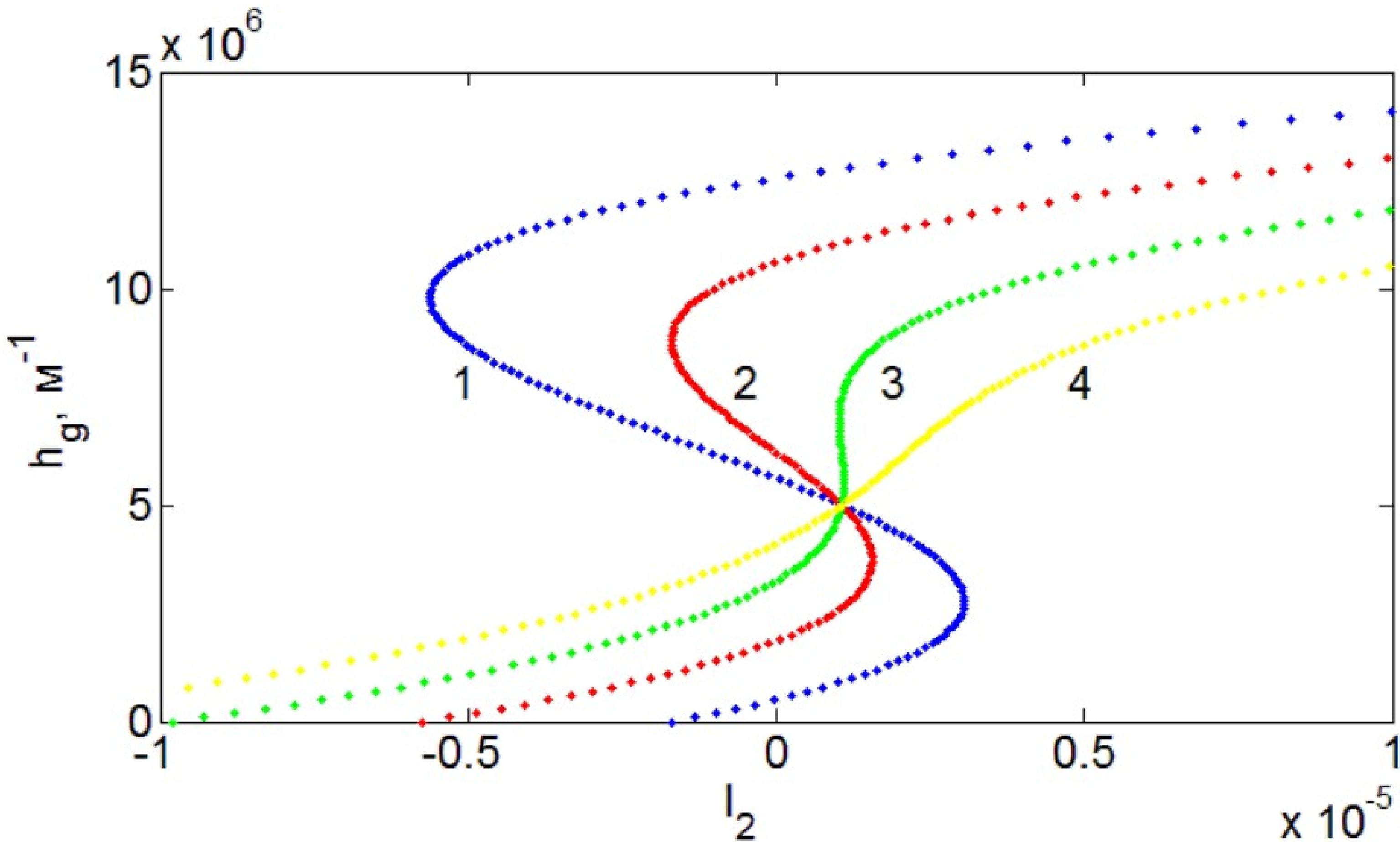


Рис. 2.1. Залежність стаціонарних розв'язків h_g рівняння екстремумів (2.18) від значень зсувної деформації I_2 при сталому значенні $\varepsilon_{ii}^e = -0.1\%$. Криві 1 – 4 (зліва на право) побудовані при відповідних інтенсивностях шуму $N_D = (0, 10^{-15}, 2 \cdot 10^{-15}, 3 \cdot 10^{-15})$

Код

```
In [1]: import math
import matplotlib.pyplot as plt
```

Знаходимо I_2 за формулою 2.19:

$$\begin{aligned}I_2(\varepsilon_{ii}^e, h_g^e, N_D) = & - \frac{1}{\left(2\bar{\mu}_D\left(\frac{\varphi_{gD}}{\varphi_{1D}} - 2\frac{\psi_{gD}}{\varphi_{1D}}h_g^e\right) + 2\bar{\mu}_g\right)} \left[\left(2\frac{\psi_{gD}^2}{\varphi_{1D}} - \varphi_{3g}\right)h_g^{c3} + \left(\varphi_{2g} - 3\frac{\psi_{gD}\varphi_{gD}}{\varphi_{1D}}\right)h_g^{c2} + \right. \\ & + \left(\frac{\varphi_{gD}^2}{\varphi_{1D}} - \varphi_{1g} - 2\frac{\psi_{gD}}{\varphi_{1D}}(\varphi_{0D}^* + g_D\varepsilon_{ii}^e + \frac{1}{2}\bar{M}_D(\varepsilon_{ii}^e)^2) - 4\frac{\psi_{gD}^2}{\tau_{h_g}\varphi_{1D}^2}N_D\right)h_g^c + 2\frac{\psi_{gD}\varphi_{gD}}{\tau_{h_g}\varphi_{1D}^2}N_D + \\ & \left. + \varphi_{0g}^* + g_g\varepsilon_{ii}^e + \frac{1}{2}\bar{M}_g(\varepsilon_{ii}^e)^2 + \frac{\varphi_{gD}}{\varphi_{1D}}(\varphi_{0D}^* + g_D\varepsilon_{ii}^e + \frac{1}{2}\bar{M}_D(\varepsilon_{ii}^e)^2) \right]. \quad (2.19)\end{aligned}$$

```
In [2]: def find_I2(hg_all, N_D):
    varphi_0g = 0.4
    varphi_1g = 3*10**(-6)
    varphi_2g = 5.6*10**(-13)
    varphi_3g = 3*10**(-20)
    varphi_0D = 5*10**(-9)
    varphi_1D = 10**(-24)
    varphi_gD = 10**(-16)

    psi_gD = 10**(-23)

    M_g = 2.5*10**5
    M_D = 0

    mu_g = 3*10**5
    mu_D = 1.65*10**(-4)

    e_g = 3.6*10**(-4)
    e_D = 6*10**(-23)

    g_g = 12
    g_D = 2*10**(-8)

    vareps_ii = -0.1 / 100 # -0.1%

    tau = 20

    I2_all = []
    for hg in hg_all:
        I2 = -(1/(2*mu_D*(varphi_gD/varphi_1D - 2*(psi_gD/varphi_1D) * hg) + 2*mu_g)) \
            * ((2*(psi_gD**2)/varphi_1D - varphi_3g)*(hg**3) + (varphi_2g - 3*psi_gD*varphi_gD/varphi_1D)*(hg**2) \
              + ((psi_gD**2)/varphi_1D - varphi_1g - 2*psi_gD/varphi_1D*(varphi_0D + g_D*vareps_ii + 0.5*M_D*(vareps_ii**2)) \
              + 4*(psi_gD**2)/(tau*(varphi_1D**2))*N_D)*hg + 2*psi_gD*varphi_gD/(tau*(varphi_1D**2))*N_D \
              + varphi_0g + g_g*vareps_ii + 0.5*M_g*(vareps_ii**2) \
              + (varphi_gD/varphi_1D)*(varphi_0D + g_D*vareps_ii + 0.5*M_D*(vareps_ii**2)))
        I2_all.append(I2)

    return I2_all
```

Додаємо ще необхідні змінні та параметри.

```
In [3]: hg_all = [i for i in range(0, 15*(10**6), 10**5)]
colors = ['hotpink', 'darkviolet', 'mediumblue', 'mediumturquoise']

N_D_all = [0, 1*10**(-8), 2*10**(-8), 3*10**(-8)]
print('N_D:', N_D_all)

N_D: [0, 1e-08, 2e-08, 3.0000000000000004e-08]
```

Будуємо всі 4 криві.

```
In [4]: def fun_plot1(hg_all, N_D_all):
    for i in range(len(N_D_all)):
        I_2 = find_I2(hg_all, N_D_all[i])
        plt.scatter(I_2, hg_all, s = 5, c = colors[i], label = f'{{i+1}}' ' N_D = {f'{{N_D_all[i]}}'})

    plt.xlabel('$I_2$')
    plt.ylabel('$h_g, m^{-1}$')
    plt.title('Залежність стаціонарних розв'язків "$h_g$" ' рівняння екстремумів (2.18-2.19) \n \
              від значень зсувної деформації "$I_2$"')
    plt.legend(bbox_to_anchor=(1,1), loc="upper left", prop={'size': 12})
    plt.axis([0*10**(-5), 1.5*10**(-5), 0, 15*(10**6)])

    fun_plot1(hg_all, N_D_all)
```

Залежність стаціонарних розв'язків h_g рівняння екстремумів (2.18-2.19)

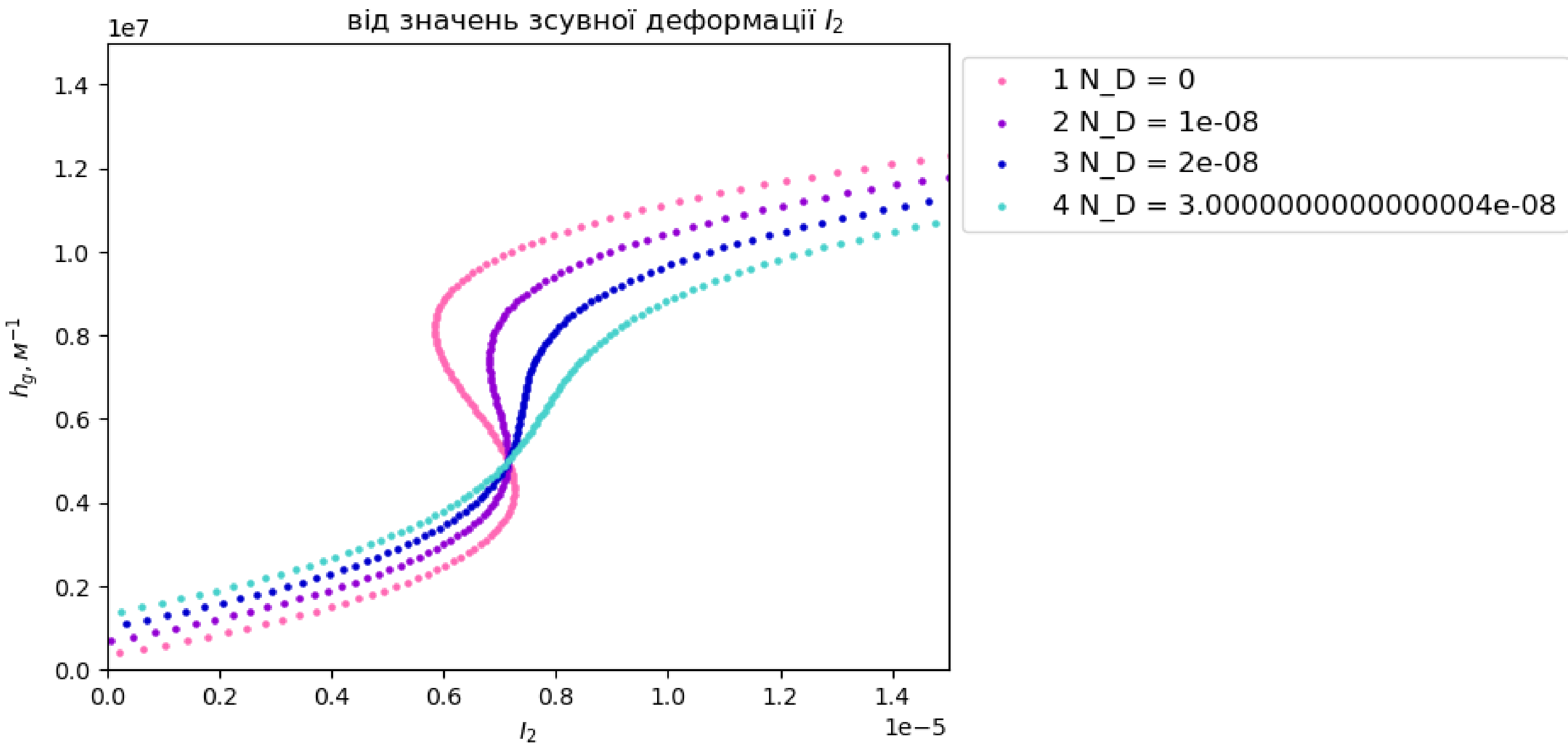


Рис. 2.1. Залежність стаціонарних розв'язків h_g рівняння екстремумів (2.18) від значень зсувної деформації I_2 при сталому значенні $\varepsilon_{ii}^e = -0.1\%$. Криві 1 – 4 (зліва на право) побудовані при відповідних інтенсивностях шуму $N_D = (0, 10^{-8}, 2 \cdot 10^{-8}, 3 \cdot 10^{-8})$. Значення $\tau = 20$.